

TD n°14

Diffusion

① Équation de Schrödinger: $\hat{H}\psi = E\psi$

on cherche une solution $\left\{ \begin{array}{l} E \in \mathbb{R} \\ \psi(r, \theta, \varphi) = R(r) Y_{lm}(\theta, \varphi) \end{array} \right.$

$$\hat{H} = -\frac{\hbar^2 \Delta}{2m} + V(r)$$

$$\Delta = \frac{1}{r^2} \frac{\partial}{\partial r} \left(r^2 \frac{\partial}{\partial r} \right) - \frac{l^2}{r^2} = \frac{2}{r} \frac{\partial}{\partial r} + \frac{\partial^2}{\partial r^2} - \frac{l^2}{r^2}$$

alors: $\Delta \psi = \left(\frac{2}{r} \frac{\partial}{\partial r} + \frac{\partial^2}{\partial r^2} - \frac{l(l+1)}{r^2} \right) R \cdot Y_{lm}$

$$\text{car } l^2 Y_{lm} = \hbar^2 (l(l+1)) Y_{lm}$$

on final:

$$\hat{H}\psi = E\psi, \text{ posant } E = \frac{\hbar^2 k^2}{2m}$$

$$\Leftrightarrow -\frac{\hbar^2}{2m} \left(\frac{2}{r} \frac{\partial}{\partial r} + \frac{\partial^2}{\partial r^2} - \frac{l(l+1)}{r^2} \right) R + \frac{\hbar^2}{2m} V(r) R = \frac{\hbar^2 k^2}{2m} R$$

$$\Leftrightarrow \left(\frac{\partial^2}{\partial r^2} + \frac{2}{r} \frac{\partial}{\partial r} - l(l+1) \frac{1}{r^2} - V(r) + k^2 \right) R(r) = 0$$

où $V(r) = \begin{cases} -V_0 & \text{pour } r < a \\ 0 & \text{pour } r \geq a \end{cases}$

$$\textcircled{2} \quad \text{posons } k^2 = U_0 + \frac{E}{\rho^2}$$

alors d'après (1), pour $r < a$,

$$H4 = E4 \Leftrightarrow$$

$$\left(\frac{\partial^2}{\partial r^2} + \frac{2}{r} \frac{\partial}{\partial r} - \epsilon(\ell+1) \frac{1}{r^2} + k^2 \right) R = 0$$

$$\text{on pose } \Leftrightarrow \left(\frac{\partial^2}{\partial \rho^2} + \frac{2}{\rho} \frac{\partial}{\partial \rho} - \epsilon(\ell+1) \frac{1}{\rho^2} + 1 \right) R = 0$$

$$\text{avec } \rho = kr$$

c'est l'équation de Bessel dont la solution générale est :

$$R(r) = B \cdot j_\ell(kr) + C \cdot n_\ell(kr).$$

Ici, il faut que $R(r)$ soit finie pour $r \rightarrow 0$, or $n_\ell(kr)$ diverge, donc $C=0$ et donc :

$$\boxed{R_{\text{int}}(r) = A \cdot j_\ell(kr) : \text{pour } r < a, A \in \mathbb{C}}$$

de même pour $r \geq a$, on trouve :

$$\boxed{R_{\text{ext}}(r) = B \cdot j_\ell(kr) + C \cdot n_\ell(kr), \quad B, C \in \mathbb{C}}$$

en $r = a$, il faut les conditions de raccordement :

$$\begin{cases} R_{\text{int}}(a) = R_{\text{ext}}(a) \\ \frac{dR_{\text{int}}}{dr}(a) = \frac{dR_{\text{ext}}}{dr}(a) \end{cases} \Leftrightarrow \left(\frac{R'_{\text{int}}}{R_{\text{int}}} \right)(a) = \left(\frac{R'_{\text{ext}}}{R_{\text{ext}}} \right)(a)$$

$$\Leftrightarrow \boxed{\frac{k j_\ell'(ka)}{j_\ell(ka)} = \frac{(B j_\ell''(ka) + C n_\ell''(ka))k}{B j_\ell'(ka) + C n_\ell'(ka)}}$$

③ Pour $r \rightarrow \infty$,

$$\begin{aligned}
 R_{\text{ext}}(r) &\approx \frac{B}{\ell} \sin\left(\ell - \frac{\pi l}{2}\right) - \frac{C}{\ell} \cos\left(\ell - \frac{\pi l}{2}\right) \\
 &\quad (\text{avec } \ell = kr) \\
 &= \frac{(B^2 + C^2)^{1/2}}{\ell} \left[\sin\left(\ell - \frac{\pi l}{2}\right) \cos(\delta) + \cos\left(\ell - \frac{\pi l}{2}\right) \sin(\delta) \right] \\
 &\quad \text{avec } \cos(\delta) = \frac{B}{(B^2 + C^2)^{1/2}}, \sin(\delta) = \frac{-C}{(B^2 + C^2)^{1/2}} \\
 &= \frac{A}{kr} \sin\left(kr - \frac{\pi l}{2} + \delta\right) \\
 &\quad \text{avec } A = (B^2 + C^2)^{1/2}, \ell = kr.
 \end{aligned}$$

Dans le cas où il n'y a pas de potentiel, $V_0 = 0$,
d'après les formules de raccordement, il faut $C = 0$
donc $S = 0$.

Ainsi si la phase S est non nulle, c'est à cause du potentiel non nul.

on peut aussi écrire :

$$\begin{aligned}
 R_{\text{ext}}(r) &\approx \frac{A}{kr(2i)} \begin{pmatrix} e^{i(kr - \frac{\pi l}{2}) + i\delta} & -e^{-i(kr - \frac{\pi l}{2}) - i\delta} \\ e^{-i(kr - \frac{\pi l}{2})} & -e^{i(kr - \frac{\pi l}{2})} \end{pmatrix} \\
 &= -\frac{A}{2ikr} e^{-i\delta} \begin{pmatrix} -i(kr - \frac{\pi l}{2}) & S_r \cdot \frac{e^{i(kr - \frac{\pi l}{2})}}{r} \\ \frac{e^{-i(kr - \frac{\pi l}{2})}}{r} & \end{pmatrix}
 \end{aligned}$$

$$\text{avec } S_r = e^{2i\delta}$$

\uparrow
 onde sphérique
 entrante

\uparrow
 onde sphérique
 sortante

Cette expression

montre que l'onde entrante sphérique est diffusée vers l'onde sortante avec un module de S_r , et S_r est le coefficient de module 1 car proba conservée

(4) A partir de (2) et (3),

$$\tan \delta_e = -\frac{c}{b},$$

$$\text{et } \frac{K \cdot j'_e(ka)}{j_e(ka)} = \frac{(j''_e(ka) - \tan \delta \cdot n_e(ka)) b}{j_e(ka) - \tan \delta \cdot n_e(ka)}$$

$$\leftrightarrow \tan \delta_e = \frac{b \cdot j'_e(ka) \cdot j'_e(ka) - j'_e(ka) \cdot j_e(ka) K}{b \cdot n'_e(ka) \cdot j_e(ka) - n_e(ka) \cdot j'_e(ka) K}$$

(5) En mécanique classique une particule incidente avec un paramètre d'impact b , subit une collision sur un objet de rayon a si $b < a$:



or le moment angulaire est $L = p \cdot b$

il faut donc $L = p \cdot b < p \cdot a$

$$\leftrightarrow \boxed{l < h \cdot a} \quad \text{car } L = h \cdot l \text{ et } p = h \cdot k$$

(6) On a

$$j_o(\ell) = \frac{\sin \ell}{\ell}, \quad n_o(\ell) = -\frac{\cos \ell}{\ell}$$

$$j'_o(\ell) = \frac{\ell \cos(\ell) - \sin \ell}{\ell^2} \quad n'_o(\ell) = \frac{(\sin \ell) \ell + \cos \ell}{\ell^2}$$

donc avec (4) :

$$\begin{aligned} \tan \delta_o &= \frac{b \sin(ka) \cos(ka) - K \cos(ka) \sin(ka)}{b \sin(ka) \sin(ka) + K \cos(ka) \cos(ka)} \\ &= \frac{b \operatorname{tg}(ka) - K \operatorname{tg}(ka)}{b \operatorname{tg}(ka) \operatorname{tg}(ka) + K} \end{aligned}$$

7) pour $k \rightarrow 0$, $\tan(ka) \sim ka$ donc

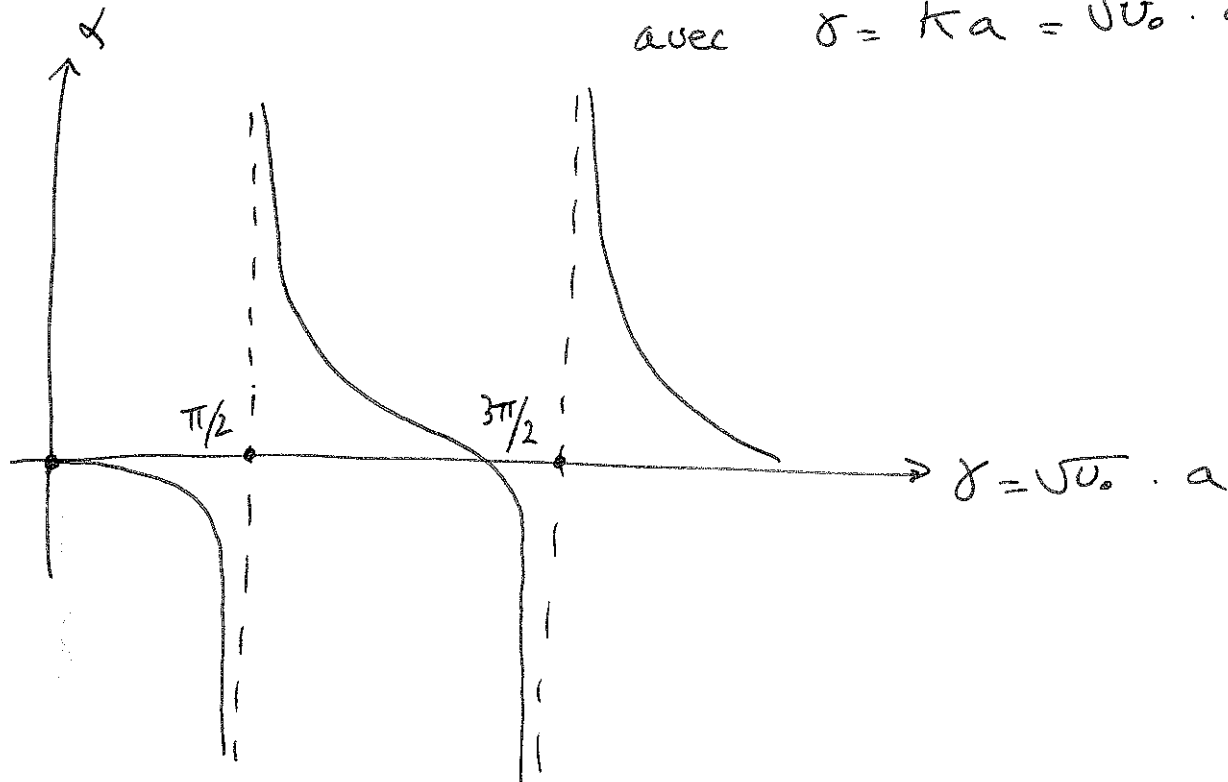
$$\tan S_0 \sim \frac{a(\tan(ka) - ka)}{k}$$

5)

donc

$$\alpha = -\lim_{k \rightarrow 0} \frac{\tan S_0}{k} = a \cdot \left(1 - \frac{\tan \delta}{\delta}\right)$$

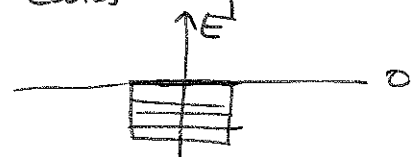
$$\text{avec } \delta = ka = \sqrt{U_0} \cdot a$$



Les résonances sont en $E = \frac{\pi}{2}, \frac{3\pi}{2}$ etc...

car α diverge donc la section efficace σ_{tot} diverge.
(La diffusion est importante).

Rem: on montre par ailleurs que pour ces valeurs, il y a un nouveau état lié dans le puits de potentiel, d'énergie 0:



⑧ si $U_0 \rightarrow \infty$, a fixé, alors $T^2 \sim U_0 \rightarrow \infty$. (6)

et avec (4) :

$$\tan \delta_L = \frac{\sin(ka)}{\cos(ka)}$$

Dans la limite basse énergie, $ka \rightarrow 0$, alors :

$$\tan \delta_L \approx \frac{-(ka)^{2L+1}}{[3 \cdot 5 \dots (2L+1)][3 \cdot 5 \dots (2L-1)]}$$

qui décrit avec L grand.

Donc τ_L décrit avec L , et donc $\tau_{L=0}$ domine à basse énergie.

⑨ Pour $(ka) \ll 1$ (basse énergie),

$$S_{L=0} \approx \tan \delta_0 \approx -(ka)$$

$$T_{\text{tot}} \approx T_0 = \frac{4\pi}{L^2} S_e^2 \approx 4\pi \cdot a^2$$

$$= 4 \cdot S_a$$

avec $S_a = \pi a^2$: surface d'un disque de rayon a .

qui est la section efficace classique

(que l'on trouverait à haute énergie platon)

Pour $(ka) \gg 1$ (haute énergie),

$$\tan \delta_L \approx \frac{\sin(ka)}{\cos(ka)} = -\tan\left(ka - \frac{\pi L}{2}\right)$$

$$\text{Donc } S_L \approx \frac{\pi L}{2} - ka.$$

$$\begin{aligned} T_{\text{tot}} &= \sum_{L=0}^L \frac{4\pi}{L^2} (2L+1) \sin^2\left(\frac{\pi L}{2} - ka\right), \text{ avec } L = ka \cdot a \\ &= \frac{4\pi a}{ka^2} \left(\sum_{L \text{ pair}} (2L+1) \sin^2(ka) + \sum_{L \text{ impair}} (2L+1) \cos^2(ka) \right) \end{aligned}$$

coupe obtenue en (5)

\approx

donc pour $L = k a \gg 1$,

$$T_{\text{tot}} \approx \frac{4\pi}{k^2} \sum_{l=0}^{\frac{ka}{\lambda}} (l) \approx 2\pi a^2 = 2 \cdot S_a$$

Le facteur 2, par rapport au résultat classique S_a , vient du fait que le potentiel est abrupt, et il y a des phénomènes de diffraction qui persistent même dans la limite des petites longueurs d'ondes.